

## KOBAY ADRENAL KORTEKSİNİN ERKEN VE GEÇ GEBELİK DÖNEMLERİNDE KIYASLI YAPISI: MORFOMETRİK VE İŞIK-MİKROSKOBİK ÇALIŞMA

Yrd.Doç.Dr.Elvan ÖZBEK\*

Doç.Dr.Güngör AKÇAY\*\*

### COMPARATIVE STRUCTURE OF GUINEA PIG ADRENAL CORTEX IN EARLY AND LATE GESTATIONAL PERIODS: A MORPHOMETRIC AND LIGHT-MICROSCOPIC STUDY

#### SUMMARY

In this study, it was aimed to determine probable structural changes that may occur during gestation by researching the adrenal cortices of guinea pigs in different gestational periods. For this aim the adrenal cortices of the animals at day 35 and day 60 of gestation were compared with both those of nonpregnant and each other morphometrically and light-microscopically. The adrenal glands of pregnant were bigger than those of nonpregnant macroscopically. On the preparations, it was observed that this getting large was particularly at cortex. The thicknesses of total cortex and zona glomerulosa (ZG) and combined thickness of zonae fasciculata and reticularis (ZF+ZR) were increased in all pregnant animals compared to those of nonpregnant ( $p<0,05$ ). In comparison with controls, the number of inner ZF- and outer ZR-cells of animals at day 35 of gestation were less ( $p<0,05$ ). In the pregnant at day 60 of gestation, the cell counts per unit area of all cortical layers were more than in other two groups ( $p<0,05$ ). In pregnant, adrenal capsule's deep part adjacent to ZG was with more cells than in controls; in ZG and outer ZF of pregnant, more mitotic figures were observed than in those of controls. Particularly in the pregnant at day 60 of gestation, the transition zone between ZG and ZF had much more cells, and the nuclei of ZG- and outer ZF-cells were bigger than in nonpregnant. The intracytoplasmic large lipid vacuoles which are found in outer ZF normally were seen in inner ZF- and outer ZR-cells of pregnant also; in the pregnant at day 35 of gestation, these cells were full of large lipid vacuoles; but in the pregnant at day 60 of gestation, these lipid vacuoles were less and smaller compared with those of the other pregnant group. Apart from these, more lipofuscin pigment granules were observed in deeper cortical cells of pregnant than in those of controls.

In conclusion, it was thought that the reason of structural changes occurring in the adrenal cortex of pregnant may be the stimulation of adrenal cortex by adrenocorticotrophic hormone released from placenta and excessively from hypophysis and/or adrenal gland by means of increased estrogen hormone in pregnancy.

**Key words:** Pregnancy, adrenal cortex, morphometry, histology.

#### ÖZET

Bu araştırmada, farklı gebelik dönemlerindeki kobayların adrenal kortekslerini inceleyerek, gebelik boyunca gelişebilecek olası yapısal değişiklikleri saptamak amaçlandı. Bu amaçla, 35 ve 60 günlük gebe kobayların adrenal korteksleri, hem kontrol grubu ile hem de kendi aralarında morfometrik ve ışık mikroskopik düzeyde kıyaslandı. Gebe kobayların adrenal bezleri, kontrole kıyasla makroskopik olarak daha büyüktü. Präparasyonlarda bu büyümenin özellikle kortekste olduğu saptandı. Total korteksin, zona glomerulosa (ZG)'nın ve zona fascikulata ile zona retikularisin birlikte (ZF+ZR) kalınlıkları her iki gebe grubunda da kontrole kıyasla arttı (p<0,05). Kontrole kıyasla, 35 günlük gebelerde iç-ZF'deki ve dış-ZR' deki hücre sayısı daha azdı (p<0,05). Altışim günlük gebelerde ise, bütün korteks tabakalarındaki birim alana düşen hücre sayısı, diğer iki gruptanın daha fazla bulundu (p<0,05). Gebelerde, adrenal bez kapsülünün ZG' ye bitişik derin bölgeleri daha bol hücreliydi; ZG' de ve dış-ZF' de daha fazla mitoz figürüne rastlandı. Özellikle 60 günlük gebelerde, ZG ile dış-ZF' deki parankim hücrelerinin nükleusları daha in ve ZG ile ZF arasındaki bölüm daha bol hücreliydi. Normalde dış-ZF' de bulunan intrasitoplazmik iç lipid vakuoller, gebelerde iç-ZF ve dış-ZR' nin hücrelerinde de boya gözlemedi; 35 günlük gebelerde, söz edilen hücreler içi lipid vakuollerileyi takabasa doluydu; 60 günlük gebelerde ise bu lipid vakuoller, diğer gebe grubundakine kıyasla daha küçük ve sayıca daha azdı. Bunların yanı sıra, gebelerin derin korteks hücrelerinde daha fazla lipofussin pigment granülleri izlendi. Sonuç olarak, gebe kobayların adrenal korteksinde saptanan bu değişikliklerin, gebelikte yükselen östrojen hormonun etkisi hipofizden ve/veya adrenal bezden salgılanması artan ve aynı zamanda plasentadan da salgılanan adrenokortikotrop hormonun adrenal korteks uyarmasından kaynaklandığı dürtünlüldü.

**Anahtar kelimeler:** Gebelik, adrenal korteks, morfometri, histoloji.

\* Atatürk Üniversitesi, Tıp Fakültesi, Histoloji ve Embriyoji Anabilim Dalı, Erzurum  
\*\* Atatürk Üniversitesi, Tıp Fakültesi, İç Hastalıkları Anabilim Dalı, Erzurum

## GİRİŞ

Adrenal bez korteksi, parankim hücrelerinin düzenlenişine göre, dıştan içe doğru sırasıyla zona glomeruloza (ZG), zona fasiktilata (ZF) ve zona retikülaris (ZR) olmak üzere üç tabakaya ayrılr. Morfolojik olarak birbirinden farklı görünüşte olan bu tabakaların fonksiyonlarının da farklı olduğu ortaya konmuştur. Adrenal korteksten, genel olarak kortikosteroid hormonlar başlığı altında toplanan çok çeşitli hormonlar salgılanır. Bunlardan mineralokortikoidler ZG'dan, glukokortikoidler ZF'dan ve ZR'in dış bölümünden, gonadokortikoidler (seks steroidleri) ise ZR'den ve ZF'nin iç bölümünden salgılanmaktadır. Korteksin salgısı, başlıca adrenokortikotropik hormon (ACTH) aracılığıyla hipofiz tarafından kontrol edilir.<sup>1,2</sup> Ayrıca tür, yaş, cinsiyet, gonadal fonksiyon ile fiziksel, kimyasal ve psikolojik etkenler gibi birçok endojen ve eksojen faktörün adrenokortikal aktiviteyi etkilediği bildirilmiştir.<sup>2-7</sup> Buna göre gebelikte dc, östrojen ve progesteron gibi steroid hormonların artmasıyla<sup>8,9</sup> bağlantılı olarak, adrenal kortekste dolaylı ya da dolaylı fonksiyonal değişikliğin meydana gelmesi beklenir. Bu çalışmada, gebelikteki olası fonksiyonal değişikliğin korteks morfolojisinde oluşturacağı değişiklikleri gözlemek amaçlandı.

## MATERIAL VE METOD

Bu çalışmada, kontrol olarak 8 tane gebe olmayan erişkin dişi kobay (guinea pig) ve gebeligin 35'inci (n:8) ve 60'inci (n:7) günlerinde olmak üzere toplam 15 tane gebe kobay kullanıldı. Her kafeste birer erkek ve dişi kobay olacak şekilde, 24 saat boyunca hayvanlar birarada tutulduktan sonra erkek kobaylar dişlerden uzaklaştırıldı. 24 saatlik çiftleşme periodunun ortası, gebeligin başlama zamanı olarak kabul edildi. Gebelik süresi kobaylarda 60-72 gündür.<sup>10</sup> Bütün kobaylara, pellet yem ve musluk suyu ile, ışığı (14 saat aydınlatık/10 saat karanlık) ve ısısı ( $22\pm 2^{\circ}\text{C}$ ) standart koşullar altında bakıldı. Kontroller ve gebe kobaylar dekapitasyonla öldürülükten sonra karın boşlukları açılarak derhal adrenal bezleri çıkarıldı. Bütün hayvanların sol adrenal bezleri Bouin solüsyonunda fiksé ve cianolde dehidrat edilerek, rutin histolojik yöntemle parafinde bloklandı. Bu bloklardan elde edilen  $5-6 \mu\text{m}$  kalınlığındaki kesitler Hematoksilin-eozin (H-E) ile boyandıktan sonra Olympus BH-2 ışık mikroskopunda incelendi. Morfometrik değerlendirme için, bir okülometre aracılığıyla adrenokortikal tabakaların kalınlığı ölçüldü, stromanın be-

lirgin olmadığı ve hücrelerin sıkıca yanyana bulunduğu alanlarda birim alana ( $0,01 \text{ mm}^2$ ) düşen hücre sayısının hesaplandı.<sup>11</sup>

**İstatistik:** Nonparametrik Wilcoxon testi kullanıldı.

## BULGULAR

Her iki gebe grubunun adrenal bezleri, gebe olmayanlara kıyasla makroskopik olarak daha büyütüldü. Präparasyonlarda bu büyümeyin özellikle kortekste olduğu saptandı. Kontrol ve gebe kobayların adrenal korteklerini morfometrik olarak birbirile kıyaslamak için, bütün gruplarda total korteks kalınlığı, ZG kalınlığı ve ZF ile ZR'nin birlikte (ZF+ZR) kalınlığı ölçüldü; ZG'de ve ZF ile ZR'nin ayrı ayrı iç ve dış bölmelerinde birim alana düşen parankimal hücre sayısı hesaplandı (Tablo 1-3).

Tablo 1. Gebe olmayan (kontrol) ve 35 günlük gebe kobayların adrenal korteklerine ait morfometrik değerler.

|   | Kontrol              | 35 günlük gebe      | p değeri |
|---|----------------------|---------------------|----------|
| Total korteks kalınlığı ( $\mu\text{m}$ ) | $1614.25 \pm 146.25$ | $2412.5 \pm 208.35$ | 0.001*   |
| ZG kalınlığı ( $\mu\text{m}$ )            | $68.975 \pm 7.4$     | $110 \pm 10.525$    | 0.0007*  |
| (ZF+ZR) kalınlığı ( $\mu\text{m}$ )       | $1545.275 \pm 77.32$ | $2302.5 \pm 96.45$  | 0.0051*  |
| Hücre sayısı / $0.01 \text{ mm}^2$ iç ZG  | $41.30 \pm 4.35$     | $47.20 \pm 5.53$    | 0.3743   |
| Hücre sayısı / $0.01 \text{ mm}^2$ dış ZF | $29.00 \pm 6.41$     | $31.50 \pm 4.28$    | 0.3139   |
| Hücre sayısı / $0.01 \text{ mm}^2$ iç ZF  | $25.30 \pm 2.16$     | $19.00 \pm 3.13$    | 0.0051*  |
| Hücre sayısı / $0.01 \text{ mm}^2$ dış ZR | $39.00 \pm 4.92$     | $33.60 \pm 5.34$    | 0.0284** |
| Hücre sayısı / $0.01 \text{ mm}^2$ iç ZR  | $48.50 \pm 6.64$     | $46.90 \pm 4.18$    | 0.4990   |

\* p<0.05

Tablo 2. Gebe olmayan (kontrol) ve 60 günlük gebe kobayların adrenal korteklerine ait morfometrik değerler.

|   | Kontrol              | 60 günlük gebe      | p değeri |
|---|----------------------|---------------------|----------|
| Total korteks kalınlığı ( $\mu\text{m}$ ) | $1614.25 \pm 146.25$ | $2259.5 \pm 285.25$ | 0.0117*  |
| ZG kalınlığı ( $\mu\text{m}$ )            | $68.975 \pm 7.4$     | $102 \pm 16.1$      | 0.0003*  |
| (ZF+ZR) kalınlığı ( $\mu\text{m}$ )       | $1545.275 \pm 77.32$ | $2157.5 \pm 65.3$   | 0.0201*  |
| Hücre sayısı / $0.01 \text{ mm}^2$ iç ZG  | $41.30 \pm 4.35$     | $65 \pm 5.08$       | 0.0051*  |
| Hücre sayısı / $0.01 \text{ mm}^2$ dış ZF | $29.00 \pm 6.41$     | $45.40 \pm 7.11$    | 0.0051*  |
| Hücre sayısı / $0.01 \text{ mm}^2$ iç ZF  | $25.30 \pm 2.16$     | $29.10 \pm 2.96$    | 0.0069*  |
| Hücre sayısı / $0.01 \text{ mm}^2$ dış ZR | $39.00 \pm 4.92$     | $44.70 \pm 5.19$    | 0.0077*  |
| Hücre sayısı / $0.01 \text{ mm}^2$ iç ZR  | $48.50 \pm 6.64$     | $60.50 \pm 5.28$    | 0.0123*  |

\* p<0.05

Tablo 3. 35 ve 60 günlük gebe kobayların adrenal kortekslerine ait morfometrik değerler.

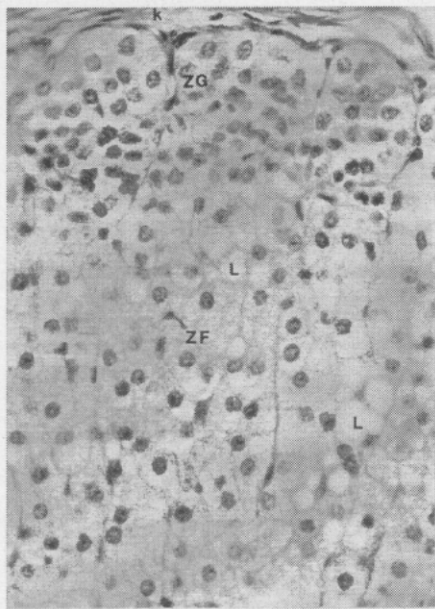
|   | 35 günlük gebe      | 60 günlük gebe      | p değeri |
|---|---------------------|---------------------|----------|
| Total korteks kalınlığı ( $\mu\text{m}$ )   | $2412.5 \pm 208.35$ | $2259.5 \pm 285.25$ | 0.7794   |
| ZG kalınlığı ( $\mu\text{m}$ )              | $110 \pm 10.525$    | $102 \pm 16.1$      | 0.2209   |
| (ZF + ZR) kalınlığı ( $\mu\text{m}$ )       | $2302.5 \pm 96.45$  | $2157.5 \pm 65.3$   | 0.4863   |
| Hücre sayısı / $0.01 \text{ mm}^2$ / ZG     | $43.20 \pm 5.53$    | $65 \pm 5.08$       | 0.0051*  |
| Hücre sayısı / $0.01 \text{ mm}^2$ / dış ZF | $31.50 \pm 4.28$    | $45.40 \pm 7.11$    | 0.0051*  |
| Hücre sayısı / $0.01 \text{ mm}^2$ / iç ZF  | $19.00 \pm 3.13$    | $29.10 \pm 2.96$    | 0.0051*  |
| Hücre sayısı / $0.01 \text{ mm}^2$ / dış ZR | $33.60 \pm 5.34$    | $44.70 \pm 5.19$    | 0.0051*  |
| Hücre sayısı / $0.01 \text{ mm}^2$ / iç ZR  | $46.90 \pm 4.18$    | $60.50 \pm 5.28$    | 0.0051*  |

\* p<0,05

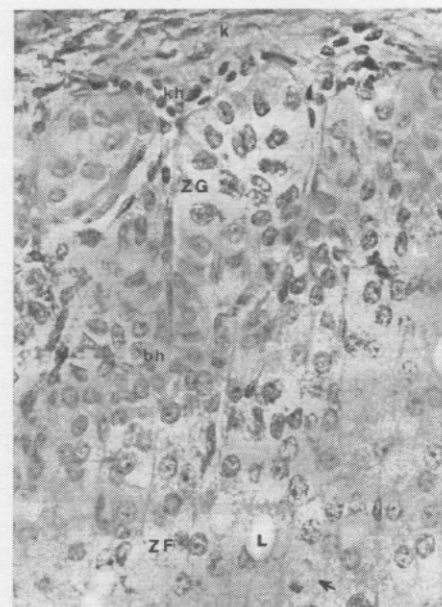
Total korteksin, ZG' nin ve ZF+ZR' nin kalınlıkları her iki gebe grubunda da kontrole kıyasla artmıştı ( $p<0,05$ ) (Tablo 1,2). İki gebe grubuna ait bu değerler arasında ise istatistiksel yönden anlamlı bir fark bulunamadı (Tablo 3). ZG' de, ZF' nin dış bölümünde (dış-ZF' de) ve ZR' nin iç bölümünde (iç-ZR' de) birim alana düşen hücre sayısı bakımından kontrol ile 35 günlük gebe grubu arasında istatistiksel olarak önemli bir fark bulunmamasına karşın, iç-ZF' deki ve dış-ZR' deki hücre sayısı 35 günlük gebe grubunda kontrole kıyasla daha azdı ( $p<0,05$ ) (Tablo 1). Altımış günlük gebelerde ise bütün korteks tabakalarındaki birim alana düşen hücre sayısı, diğer iki gruptakinden de fazla bulundu ( $p<0,05$ ) (Tablo 2,3).

Gebe kobaylarda adrenal bez kapsülünün ZG'ye bitişik derin bölgeleri, gebe olmayanlarla karşılaştırıldığında daha bol hücreli görüldü (Resim 1-3). Kontrole kıyasla, her iki gebe grubunda da ZG' de ve dış-ZF' de daha fazla mitoz figürüne rastlandı (Resim 2,4,5). Özellikle 60 günlük gebelerde belirgin olarak, ZG ile dış-ZF' deki parankim hücrelerinin nükleusları gebe olmayanlarına kıyasla daha iriydi (Resim 1,2,5) ve ZG ile ZF arasındaki bölümün daha bol hücreli olduğu saptandı (Resim 2,3). Kontrol grubunda genellikle dış-ZF' de bulunan ve iç-ZF ile dış-ZR' de çok nadir görülebilen intrasitoplazmik iri lipid vakuollerleri, gebe kobaylarda iç-ZF ve dış-ZR' nin parankim hücrelerinde de bolca gözlandı (Resim 6-8). Özellikle 35 günlük gebelerde, söz edilen hücrelerin iri lipid vakuolleriley tıka basa dolu olduğu saptandı; 60 günlük gebelerde ise bu lipid vakuollerinin diğer gebe grubuna kıyasla hâkimce küçüldüğü ve sayıca azaldığı görüldü (Resim 7,8). Kontrol grubunda dış-ZR' den iç-ZR' ye doğru gittikçe, özellikle medulla yakınındaki sinüzoid damarlar çevresinde, kahverengi lipofussin pigmenti içeren ve genellikle üçgenimsi uzantılı görünüşte olan hücreler gözlandı (Resim 9). Gebe kobaylarda ise lipofussin pigmenti

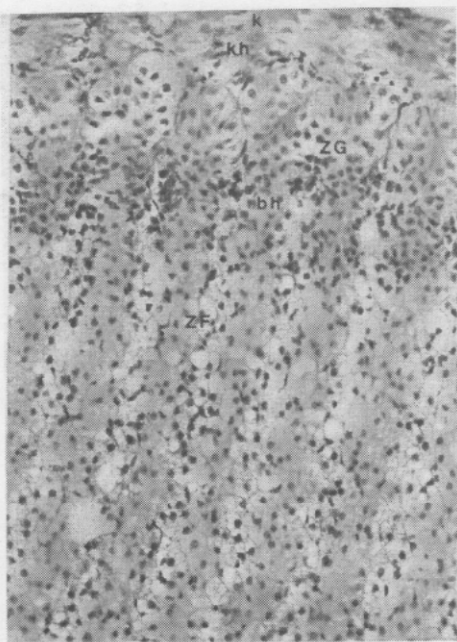
İçeren hücrelerin sayısının arttığı saptandı. Özellikle 60 günlük gebelerde iç-ZR' deki hücrelerin neredeyse tamamı lipofussin pigment granülleriyle doluydu (Resim 10).



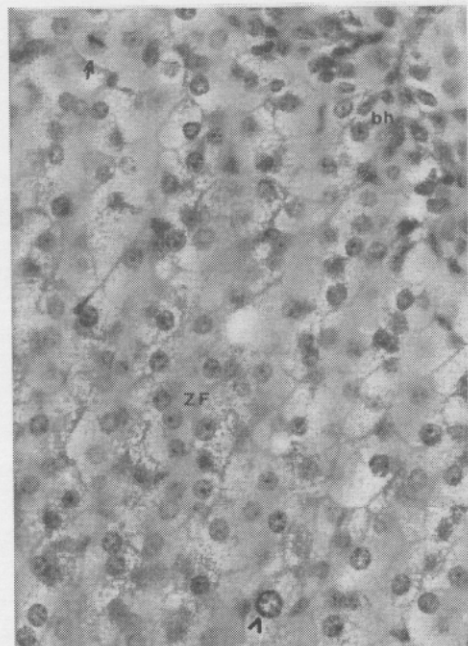
Resim 1. Gebe olmayan (kontrol) kobayı adrenal korteksinde ait mikrograf. ZG, zona glomerulosa; ZF, zona fascikulatanın dış bölümü; k, kapsüla; L, lipid vakuollerleri. H-E, x 400.



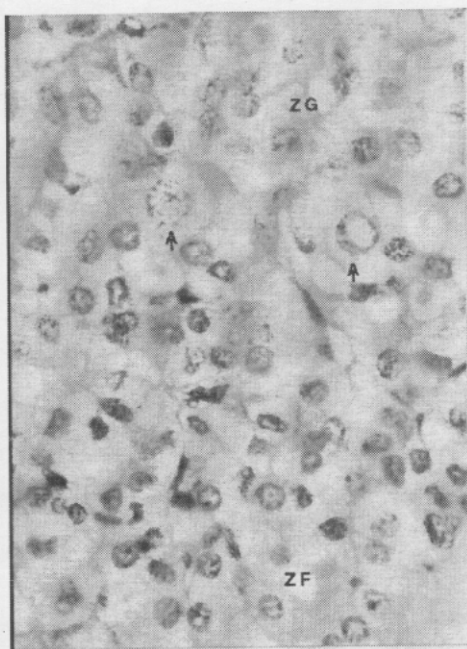
Resim 2. 60 günlük gebe kobayı adrenal korteksinde ait mikrograf. ZG, zona glomerulosa; ZF, zona fascikulatanın dış bölümü; k, kapsüla; bh, ZG ile ZF arasındaki bol hücreli bölüm; L, lipid vakuollerleri; ok, anafaz. H-E, x 400.



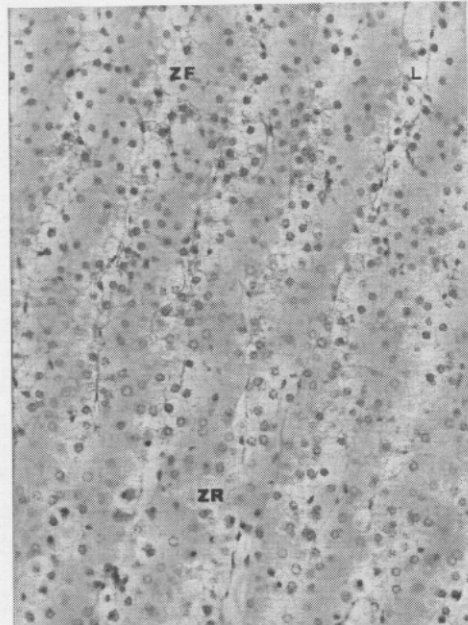
Resim 3. 60 günlük gebe kobayın adrenal korteksi- ne ait mikrograf. ZG, zo- na glomeruloza; ZF, zona fasikülata; k, kapsüla; kh, kapsülanın ZG' ye bitişik hücrelerin zengin bölümü; bh, ZG ile ZF arasındaki bol hücreli bölüm. H-E, x 100.



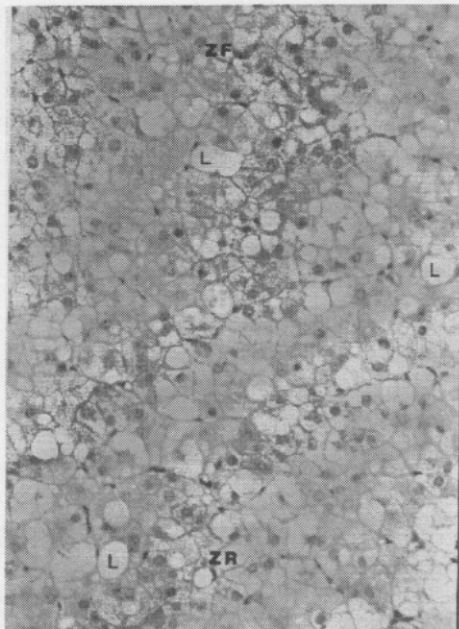
Resim 5. 60 günlük gebe kobayın adrenal korteksine ait mikrograf. ZF, zona fasikülata; bh, ZG ile ZF arasındaki bol hücreli bölüm; ok, metafaz; ok başı, profaz başlangıcı. H-E, x 400.



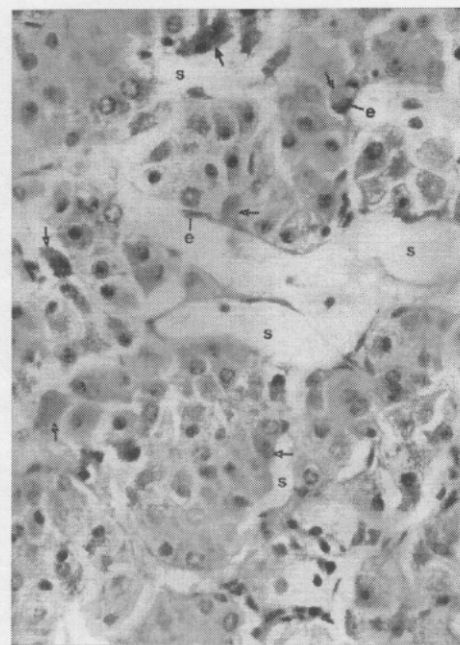
Resim 4. 35 günlük ge- be kobayın adrenal korteksine ait mikrograf. ZG, zona glomeruloza; ZF, zona fasikülatanın dış bölümü; ok, profaz. H-E, x 600.



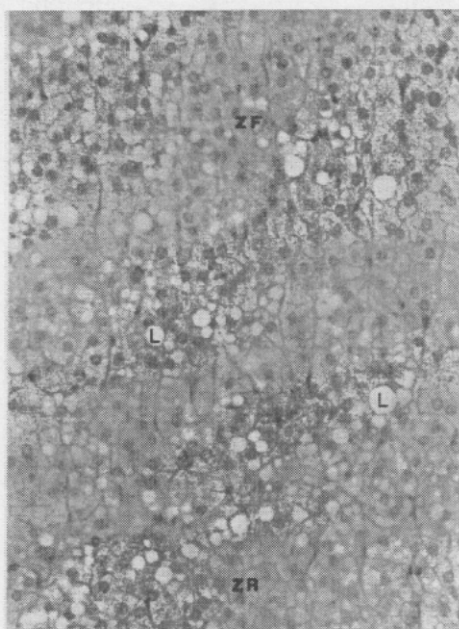
Resim 6. Gebe olma- yan (kontrol) kobayın adrenal kortek- sine ait mikrograf. ZF, zona fasikülata; ZR, zona re- tiküleris; L, lipid vakuollerleri. H-E, x 100.



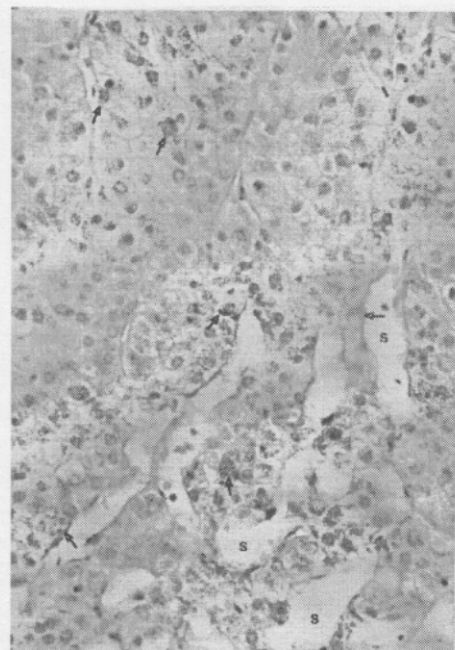
Resim 7. 35 günlük ge- be kobayın adrenal kortexine ait mikrograf. ZF, zona fasikülata; ZR, zona retiküleris; L, lipid vakuollerleri. H-E, x 100.



Resim 9. Gebe olmayan (kontrol) kobayda adrenal kortexin zona retikülerisi. S, sinüzoid kapiller; e, endotel hücresi; ok, kahverengi lipofussin pigmenti içeren üçgenimsi hücreler. H-E, x 400



Resim 8. 60 günlük gebe kobayın adrenal kortexine ait mikrograf. ZF, zona fasikülata; ZR, zona retiküleris; L, lipid vakuollerleri. H-E, x 100.



Resim 10. 60 günlük ge- be kobayda adrenal kortexin zona retikülerisi. S, sinüzoid kapiller; ok, kahverengi lipofussin pigment granülleri. H-E, x 100.

## TARTIŞMA

Gebelikte maternal plazmadaki östron ( $E_1$ ) ve östrodiol ( $E_2$ ) miktarı yükselir, yaklaşık 100 kat artar.<sup>8,9</sup>  $E_2$ 'nin hipofiz-adrenal korteks aksını stimüle ettiği ve böylece plazma ACTH konsantrasyonunu artırdığı bildirilmektedir.<sup>6,7</sup> Bu hormonal etkinin, özellikle ACTH kontrolü altında olan adrenal kortekste büyümeyc sebep olması doğaldır. Nitekim bu çalışmada, kontrole kıyasla her iki gebe grubunda da adrenal bezin makroskopik olarak daha büyük ve morfometrik olarak korteks tabakalarının daha kalın olduğu saptandı.  $E_2$ 'nin ve ACTH'ın adrenal kortekste DNA, RNA ve protein sentezini artırarak adrenokortikal büyümeyi hızlandırdığı<sup>12-14</sup> ve adrenokortikal tabakaların hacminde artışa sebep olduğu<sup>15</sup> daha önceki bazı araştırmalarda da rapor edilmiştir. Bu çalışmada, her iki gebe grubunda, özellikle korteksin periferik bölgelerinde kontrole kıyasla daha fazla mitoz figürü görüldü. Bazı araştırmacılar tarafından, ACTH'ın ZG ve ZF'de "hücre doğum oranı"nı artırdığı ve böylece yeni oluşan hücrelerin sentripetal göç ederek ZR'de birliği bildirilmiştir.<sup>16,17</sup> ZG'de birim alana düşen hücre sayısı bakımından kontrol ile 35 günlük gebe grubu arasında fark bulunmamasına karşın, ZG'nin gebe grubunda daha kalın bulunması, ACTH ile uyarılmış ZG hiperplazisinden kaynaklanıyor olmalıdır. Ayrıca 35 günlük gebelerde, ZF+ZR'nin kalınlığı kontrolden daha fazla bulunmasına karşın, iç-ZF ve dış-ZR'de birim alana düşen hücre sayısı kontrole kıyasla daha azdır. Böylece 35 günlük gebelerin iç-ZF ve dış-ZR hücrelerinde hipertrofi olduğu sonucuna varıldı. Nitekim ACTH'ın, adrenokortikal parankim hücrelerinde RNA ve protein sentezini artırarak hipertrofi ve hiperplaziye sebep olduğu bazı araştırmacılar tarafından rapor edilmiştir.<sup>15,18</sup> Özellikle 60 günlük gebelerde, korteksin periferik bölgelerindeki parankim hücrelerinin nükleusları daha iri ve ZG ile ZF arasındaki bölüm daha bol hücreli olarak gözlendi. ACTH ile provak edilmiş korteks hiperplazisinde, ZG'nin iç yarısı ile ZF'nin 1/3 dış kısmında hücre döngüsünün S (sentez) fazındaki hücrelerin sayısında artış olduğunu bildiren yazarlar vardır.<sup>16</sup> S fazında DNA'sı iki katına çıkan hücrelerde nükleusun büyümesi doğaldır.<sup>2</sup> S fazının ardından mitozun gerçekleştiği düşünülürse, bu olayların yoğun olduğu alanlarda hücre sayısının artması da beklenir. Ayrıca 60 günlük gebelerde, bütün korteks tabakalarında birim alana düşen hücre sayısı, diğer iki gruba kıyasla daha fazla bulundu. Korteks tabakalarının kalınlığı bakı-

mından, iki gebe grubu arasında istatistiksel bir fark olmamasına karşın, 60 günlük gebelerde hücre sayısının daha fazla bulunması bu dönemde hiperplazinin daha fazla olduğunu göstermektedir. Buna göre, kortikal hiperplaziyi uyaran ACTH salgısının gebeliğin sonuna doğru daha da artmış olması beklenir. Nitekim bazı otörler, plasentanın da kortikotropin salgılatıcı hormon (CRH) ve ACTH salgıladığı, bu ACTH sekresyonunun plazma glukokortikoid düzeylerinden etkilenmediğini, ancak gebelik boyunca oksitosin ve prostaglandinlerle uyarıldığını bildirmektedirler.<sup>8,9</sup> Kanımızca, insanda plasentanın tam olarak gelişmesini gebelik süresinin ortalarında tamamlandığı gözontüne alınırsa,<sup>2,19</sup> kobayda da gebelik süresinin ortalarına denk gelen 35. günden sonra<sup>10</sup> plasentanın tam gelişmiş olarak gebeliğin sonuna kadar ACTH salgılaması ve ayrıca bu ACTH salgısının, gebeliğin sonuna doğru yükselen oksitosin hormonuya daha da uyarılması<sup>8,9</sup> sonucunda, 60 günlük gebe kobayların adrenal korteksinde hiperplazinin daha fazla olması doğaldır.

Gebe kobaylarda adrenal bez kapsülünün parankimaya bitişik bölümü, kontrole kıyasla daha bol hücreliydi. Erbengi T<sup>20</sup> ve Clara M<sup>21</sup> kapsülünün bu bölgesinde korteks rejenerasyonunu sağlayabilecek kapasitede olan indiferent hücrelerin bulunduğu ve buraya "subkapsüler blastem" adı verildiğini bildirmektedirler. Kanımızca kapsülündeki bu sayıca artmış hücreler, gebelikte ACTH ile uyarılmış korteks büyümeye katkıda bulunuyor olabilir.

Gebe kobaylarda, iç-ZF ve dış-ZR'deki hücrelerin çok sayıda lipid vakuolu içerdigi saptandı. Otuzbeş günlük gebelerdeki bu lipid vakuollerleri, 60 günlük gebelerdeki kıyasla daha iri ve sayıca daha çoktu. Gebelikte ZF ve ZR hücrelerindeki lipid damlalarının önemli derecede artığı, bazı araştırmacılar tarafından da saptanmıştır.<sup>22</sup> Steroid hormon prekürsörü olan kolesterol, adrenokortikal hücrelerde kolesterol esterleri (CE)'ne çevrilecek lipid damlaları şeklinde depolanır. Adrenokortikal hücreler daha önceden depoladıkları CE'yi, ACTH uyarısı sonucunda serbest kolesterol'e çevirir ve bundan da steroid hormonları sentezleyerek sitoplazmalarında bekletmeden hemen salgılarlar.<sup>2,13,23</sup> ACTH uygulamasının akut fazında, glukokortikoid sekresyonunun artışı<sup>14</sup> ve buna paralel olarak ZF ile ZR hücrelerindeki lipid damlalarında azalma görüldüğü,<sup>2</sup> ancak uzun süreli ACTH uygulaması sonucunda sözü edilen hücrelerin lipid damlalarında artış olduğu<sup>23-25</sup> bildirilmektedir. Brody RI<sup>23</sup> ACTH'ın, hücrede lipid damlaları şeklinde depolanan CE'nin sentezi için gerek-

acil koenzim A: kolesterol acil transferaz (ACAT) enzim aktivitesini artırdığını, ancak CE'yi steroid sentezinde kullanılmak amacıyla parçalayarak serbest kolesterolü çeviren kolesterol ester hidrolaz (CEH) enzimini ACAT'a paralel olarak artırmadığını ve bu nedenle, uzun süreli ACTH uygulamast sonucunda ZR' de lipid damlaşı birikimi olduğunu rapor etmiştir. Buna göre, gebelikte uzun süreli ACTH uyarısı sonucunda lipid vakuollerinin artması doğaldır. Bu bağlamda, 35 günlük gebelerde iç-ZF ve dış-ZR hücrelerinde saptanan hipertrofi, ACTH' in anabolik metabolizmayı artırmasından olduğu kadar, aşırı lipid birikiminden de kaynaklanıyor olabilir. Diğer taraftan, hücrede CE' nin depolandığı yer olan lipid vakuollerindeki artışla ters orantılı olarak kortikosteroid üretiminin düşmesi beklenmelidir. Nitekim gebelik sırasında kortizol üretiminin düşük olduğu bildirilmektedir.<sup>9</sup> Ancak gebeliğin sonlanmasına yakın, kan kortizol düzeyinin yaklaşık on kat birden arttığı rapor edilmiştir.<sup>26</sup> Kanımızca 60 günlük gebelerin adrenal korteksinde bu lipid vakuollerinin 35 günlüktekine kıyasla hacimce ve sayıca azalması, CE'nin kortizol sentezinde kullanılmak üzere harcanmasından kaynaklanıyor olmalıdır.

Gebe kobaylarda ayrıca, lipofussin pigmenti içeren hücrelerin sayısının artlığı saptandı. Gebelikte plazma östrojeninin yanı sıra, androstenedion ve testosterone hormonları da yükselir. Gebede bu hormonların ön maddesi olan dehidroepiandrosteron (DHEA), gerekli enzimlerin plasentada bulunmayı nedeni ile sadece adrenal korteksin ZR' sindе sentezlenir.<sup>8,9,13,27</sup> E<sub>1</sub> ve E<sub>2</sub>' nin prekürsörü olan DHEA-sulfatın<sup>8,13</sup> plazmadaki miktarının yaklaşık yüzde 90'unın adrenal korteks kaynaklı olduğu<sup>27</sup> ve DHEA'yı DHEA-sulfata çeviren sulfokinaz enziminin de sadece ZR hücrelerinde bulunduğu<sup>28</sup> bildirilmektedir. Dolayısıyla gebelikte aktivitesi artan ZR hücrelerinde, metabolizma artık ürünü olan kahverengi lipofussin pigmentinin artması da doğaldır. Özellikle 60 günlük gebelerde saptanan kortikal hiperplazi, iç-ZR' deki hücresel yaşlanması takiben gelişebilecek olası hücre kaybını karşılamaya hizmet edebilir. Ayrıca Martin KO<sup>29</sup> ve Black VH,<sup>30</sup> kobay adrenal bezinde ZR' nin ksenobiyotik metabolizmada (yabancı ve artık ürün metabolizması) iş gördüğünü göstermişlerdir. Gonzalez-Hernandez JA<sup>31,32</sup> tarafından, özellikle derin korteks bölgelerinde olmak üzere, adrenal bezde

yerleşmiş makrofajların bulunduğu ve bunlardan çok çeşitli biyolojik ürünlerin salgılanlığı bildirilmiştir. Bir çok araştırmacı, adrenal bezde lokal olarak CRH ve ACTH üretildiğini rapor ederken,<sup>3,4,33-35</sup> You-Ten KE<sup>36</sup> de intra-adrenal ACTH' in burada yerleşik makrofajlar tarafından üretildiğini bildirmiştir. Miller L,<sup>37</sup> plazma östrojen konsantrasyonunun yükselmesiyle gebelik boyunca insanda makrofajların arttığını, Magalhaes MM<sup>38</sup> de ZR' de, H-E ile kahverengi boyanan granüller içeren makrofajların bulundugunu ve östrojen tedavisinin, bu adrenal makrofaj sistemini aktive ettiğini göstermişlerdir. Kanımızca, gebe kobaylarda bolca izlediğimiz bu kahverengi pigmentli hücreler, gebelikte yükselen östrojen hormonunun uyarısına bağlı olarak sayısı artan makrofajlar da olabilir.

Sonuç olarak, gebe kobayların adrenal korteksinde saptanan bu değişikliklerin, gebelikte yükselen östrojen hormonunun etkisiyle hipofizden ve/veya adrenal bezden salgılanması artan ve aynı zamanda plasentadan da salgılanan adreno-kortikotrop hormonun adrenal korteksi uyarmasından kaynaklandığı düşünüldü.

## KAYNAKLAR

- 1- Ross MH, Romrell LJ, Kaye GI. Histology, A Text and Atlas. Baltimore: Williams&Wilkins, 1995: 596-635.
- 2- Fawcett DW, ed. Bloom and Fawcett. A Textbook of Histology. New York: Chapman&Hall, 1994: 516-33.
- 3- Pignatelli D, Magalhaes MM, Magalhaes MC. Direct effects of stress on adrenocortical function. Horm Metab Res 1998; 30: 464-74.
- 4- Nussdorfer GG, Mazzocchi G. Immune-endocrine interactions in the mammalian adrenal gland: facts and hypotheses. Int Rev Cytol 1998; 183: 143-84.
- 5- Aguilera G. Regulation of pituitary ACTH secretion during chronic stress. Front Neuroendocrinol 1994; 15: 321-50.
- 6- Lesniewska B, Nowak M, Malendowicz LK. Sex differences in adrenocortical structure and function. XXVIII. ACTH and corticosterone in intact, gonadectomised and gonadal hormone replaced rats. Horm Metab Res 1990; 22: 378-81.
- 7- Malendowicz LK, Robba C, Nussdorfer GG. Sex differences in adrenocortical structure and function XXII. Light- and electron-microscopic morphometric studies on the effects of gonectomy and gonadal hormone replacement on the rat adrenal cortex. Cell Tissue Res 1986; 244: 141-5.
- 8- Creasy RK, Resnik R, eds. Maternal-Fetal Medicine. Philadelphia: WB Saunders, 1989: 375-91.
- 9- Yen SSC, Jaffe RB, eds. Reproductive

- Endocrinology, Philadelphia: WB Saunders, 1986; 739-80.
- 10-Tuffery AA. Laboratory Animals: an introduction for new experimenters. New York: John Wiley&Sons, 1987: 64-75.
- 11-Bancroft JD, Cook HC. Manual of Histological Techniques. New York: Churchill Livingstone, 1984: 18-22, 256.
- 12-Kovzun OI. The effect of ovariectomy and estradiol on DNA, RNA and protein metabolism in the adrenal cortex of rats. *Fiziol Zh* 1996; 42: 53-8.
- 13-Menteş G, Ersöz B. Harper'in Biyokimya, Barış kitabevi, İstanbul, 1993:603-47.
- 14-Menteş NK. Harrison İç Hastalıklarında Temel Bilgiler, cilt I-II, Menteş Kitabevi, İzmir, 1981: 613-25.
- 15-Miskowiak B, Kasprzak A, Malendowicz LK. Comparative stereological studies on the effects of long term CRF and ACTH treatment on the cortex of the suprarenal gland. *J Anat* 1986; 146: 167-72.
- 16-Stachowiak A, Nussdorfer GG, Malendowicz LK. Proliferation and distribution of adrenocortical cells in the gland of ACTH- or dexamethasone-treated rats. *Histol Histopathol* 1990; 5 (1): 25-9.
- 17-Belloni AS, Mazzocchi G, Meneghelli V, Nussdorfer GG. Cytogenesis in the adrenal cortex evidence for an ACTH-induced centripetal cell migration from the zona glomerulosa. *Arch Anat Hist Embr Norm Et Exp* 1978; 61: 195-206.
- 18-Riondel AM, Rebiffat P, Mazzocchi G et al. Long-term effects of ACTH combined with angiotensin II on steroidogenesis and adrenal zona glomerulosa morphology in the rat. *Acta Endoer (Copenh)* 1987; 114: 47-54.
- 19-Sadler TW. Langmanis Medical Embryology. Baltimore: Williams&Wilkins, 1990: 95-102.
- 20-Erbengi T. Histoloji 2. Ankara: Güneş kitabevi, 1990: 256-66.
- 21-Clara M, Maskar Ü. Histoloji 2, İstanbul Üniversitesi Tıp Fakültesi Yayınları. İstanbul: Sermet Matbaası, 1970: 358-71.
- 22-Nowak M, Rebiffat P, Mazzocchi G, Nussdorfer GG, Malendowicz LK. Gestational changes in hamster adrenal cortex: morphometric and ultra-structural stereologic studies. *Cell Tissue Res* 1989; 256: 241-6.
- 23-Brody RI, Black VH. Acyl-coenzim A: cholesterol acyltransferase and cholesterol ester hydroxylase in the outer and inner cortices of the guinea pig adrenal: effects of adrenocorticotropin and dexamethasone. *Endocrinology* 1988; 122: 1722-31.
- 24-Andreis PG, Rebiffat P, Belloni AS, Neri G, Cavallini L, Gottardo G, Mazzocchi G, Coi A, Malendowicz LK, Nussdorfer GG. Stereological and functional investigations on isolated adrenocortical cells: zona fasciculata / reticularis cells of chronically ACTH-treated rats. *Cell Tissue Res* 1989; 258: 43-51.
- 25-Rebiffat P, Belloni AS, Rocco S, Andreis PG, Neri G, Malendowicz LK, Gottardo G, Mazzocchi G, Nussdorfer GG. The effects of ageing on the morphology and function of the zonae fasciculata and reticularis of the rat adrenal cortex. *Cell Tissue Res* 1992; 270 (2): 265-72.
- 26-Nowak M, Nussdorfer GG, Nowak KW, Mazzocchi G, Malendowicz LK. Gestational changes in hamster adrenal cortex: stereologic and functional studies. *Res Exp Med* 1990; 190: 163-71.
- 27-Erez S. Danforth Obstetrik ve Jinikoloji: Üremenin Endokrin Fiziolojisi, Altıncı Baskı, 1985: 955-966.
- 28-Jones T, Griffiths K. Ultramicrochemical studies on the site of formation of dehydroepiandrosterone sulphate in the adrenal cortex of the guinea-pig. *J Endocrinol* 1968; 42: 559-65.
- 29-Martin KO, Black VH. Effects of age and adrenocorticotropin on microsomal enzymes in guinea pig adrenal inner and outer cortices. *Endocrinology* 1983; 112 (2): 573-9.
- 30-Black VH, Barilla JR, Martin KO. Effects of age, adrenocorticotropin, and dexamethasone on a male-specific cytochrome p450 localized in the inner zone of the guinea pig adrenal. *Endocrinology* 1989; 124 (5): 2494-8.
- 31-Gonzalez-Hernandez JA, Bornstein SR, Ehrhart-Bornstein M, Geschwend JE, Adler G, Scherbaum WA. Macrophages within the human adrenal gland. *Cell Tissue Res* 1994; 278: 201-5.
- 32-Gonzalez-Hernandez JA, Ehrhart-Bornstein M, Spath-Schwalbe E, Scherbaum WA, Bornstein SR. Human adrenal cells express tumor necrosis factor-alpha messenger ribonucleic acid: evidence for paracrine control of adrenal function. *J Clin Endocrinol Metab* 1996; 81: 807-13.
- 33-Andreis PG, Neri G, Mazzocchi G, Musajo F, Nussdorfer GG. Direct secretagogue effect of corticotropin-releasing factor on the rat adrenal cortex: the involvement of the zona medullaris. *Endocrinology* 1992; 131: 69-72.
- 34-Jones CT, Edwards AV. Release of adrenocorticotropin from the adrenal gland in the conscious calf. *J Physiol (Lond.)* 1990; 426: 397-407.
- 35-Zoumakis E, Makrigiannakis A, Margioris A, Stourmaras C, Gravanis A. Corticotropin releasing hormone (CRH) in normal and pregnant uterus: Physiological Implications. *Front Biosci* 1996; 1: 1-8.
- 36-You-Ten KE, Seemayer TA, Palfree RG, Lapp WS. Increased expression of proopiomelanocortin (POMC) mRNA in adrenal glands of mice undergoing graft-versus-host disease (GVHD): Association with persistent elevated plasma corticosterone levels. *Clin Exp Immunol* 1995; 102: 596-602.
- 37-Miller L, Hunt JS. Sex steroid hormones and macrophage function. *Life Sci* 1996; 59: 1-14.
- 38-Magalhaes MM, Magalhaes MC. Effects of ovariectomy and estradiol administration on the adrenal macrophage system of the rat. *Cell Tissue Res* 1984; 238: 559-64.